

Летучесть тетрафторида плутония

Э. Г. ЧУДИНОВ, Д. Я. ЧОПОРОВ

Давление пара тетрафторида плутония измерено эфузионным методом при температурах выше 700°C [1, 2]. В то же время в литературе имеются сведения о нестабильности тетрафторида плутония при нагревании в вакууме [3, 4]. Поэтому цель настоящей работы — измерение давления насыщенного пара тетрафторида плутония при минимально возможных температурах.

Экспериментальная часть. Измерение проводили дифференциальным вариантом эфузионного метода. Аппаратура и методика измерения описаны ранее [5]. В настоящей работе использовали никелевые диафрагмы и камеры. Внутренний объем ячейки Кнудсена $0,1\text{ см}^3$.

Выполнены четыре серии измерений. Площадь эфузионного отверстия диафрагмы в первой серии $6,9 \cdot 10^{-5}\text{ см}^2$, во второй и третьей — $4,5 \cdot 10^{-4}\text{ см}^2$ и в четвертой — $3,7 \cdot 10^{-4}\text{ см}^2$.

Количество плутония, сконденсированного на мишени, определяли по α -активности.

В первой и второй сериях измерений использовали тетрафторид, синтезированный нагреванием двуокиси плутония (полученной термическим разложением оксалата) в токе газообразного фтористого водорода и кислорода при 550 — 600°C в течение 5 ч. В первом случае фторированию подвергали 164 мг PuO_2 , помещенной во флюоритовый тигель, во втором — 180 мг PuO_2 фторировали в никелевом стаканчике. Исходным мате-

УДК 536.422.1

риалом для синтеза тетрафторида плутония, использованного в третьей серии измерений, служили фториды плутония, оставшиеся в эфузионной камере после завершения второго эксперимента. В этом случае фторирование проводили непосредственно в эфузионном стаканчике для измерений. Цвет вещества после фторирования — кремовый.

Результаты и обсуждение. Значения давления пара приведены в таблице и на рисунке. Как можно видеть, две нижние точки второй серии измерений, в которой использовался тетрафторид, подготовленный из оксида плутония, несколько завышены. В той же второй серии измерений при температуре выше 810°C наблюдалось заметное уменьшение давления пара (две верхние точки занижены), что могло быть связано с разложением тетрафторида плутония. Действительно, при вскрытии эфузионной камеры после опыта в стаканчике были обнаружены прекрасно образованные пурпурные кристаллы, сходные по описанию с трифтормидом плутония [6]. В третьей серии тетрафторид плутония, полученный повторным фторированием, т. е. не содержащий остатков двуокиси, не разлагался вплоть до 852°C .

Уравнение, полученное совместной обработкой данных первых трех серий измерений (54 точки), имеет вид

$$\lg P = -\frac{14577,6}{T} + 12,1203 \quad (506 - 852^{\circ}\text{C}). \quad (1)$$

Давление пара фторидов плутония

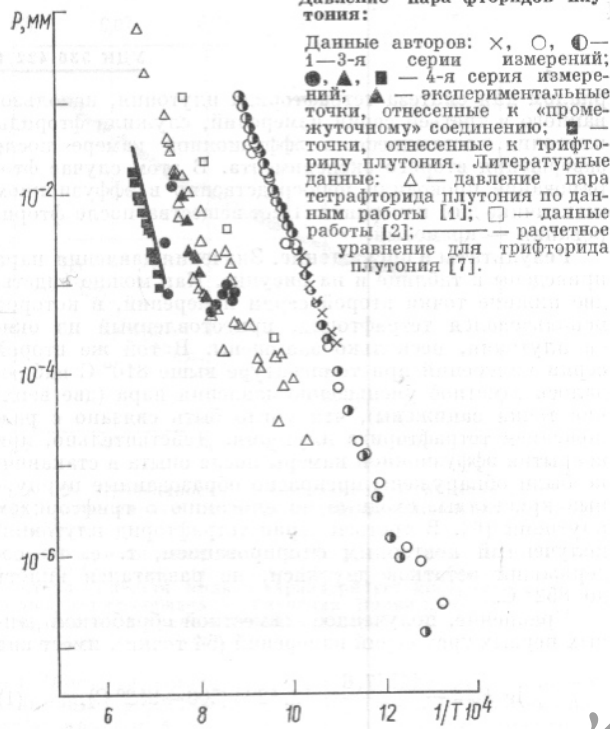
Температура, $^{\circ}\text{C}$	Давление, мм рт. ст.						
636 *	$2,200 \cdot 10^{-4}$	774,5	$1,486 \cdot 10^{-2}$	733	$4,544 \cdot 10^{-3}$	988	$1,972 \cdot 10^{-3}$
647,3	$2,916 \cdot 10^{-4}$	775	$1,573 \cdot 10^{-2}$	741	$5,664 \cdot 10^{-3}$	1003	$2,235 \cdot 10^{-3}$
662	$4,991 \cdot 10^{-4}$	784	$1,811 \cdot 10^{-2}$	748	$7,166 \cdot 10^{-3}$	1020	$5,256 \cdot 10^{-3}$
670,7	$6,686 \cdot 10^{-4}$	800	$3,119 \cdot 10^{-2}$	756	$8,150 \cdot 10^{-3}$	1034	$9,496 \cdot 10^{-3}$
686,3	$9,667 \cdot 10^{-4}$	803	$3,506 \cdot 10^{-2}$	764	$1,145 \cdot 10^{-2}$	1051,5	$1,654 \cdot 10^{-2}$
700	$1,587 \cdot 10^{-3}$	810	$3,835 \cdot 10^{-2}$	776,5	$1,693 \cdot 10^{-2}$	1070	$1,268 \cdot 10^{-2}$
706,4	$1,962 \cdot 10^{-3}$	845	$2,999 \cdot 10^{-2}$	786	$2,214 \cdot 10^{-2}$	1091	$8,443 \cdot 10^{-4}$
718,4	$2,897 \cdot 10^{-3}$	825	$3,686 \cdot 10^{-2}$	795	$2,821 \cdot 10^{-2}$	1101	$2,966 \cdot 10^{-3}$
479 **	$2,989 \cdot 10^{-7}$	500 ***	$1,442 \cdot 10^{-7}$	803	$3,581 \cdot 10^{-2}$	1129	$9,409 \cdot 10^{-4}$
506	$8,896 \cdot 10^{-7}$	534,5	$9,872 \cdot 10^{-7}$	813	$4,719 \cdot 10^{-2}$	1142,5	$1,365 \cdot 10^{-3}$
525,6	$1,259 \cdot 10^{-6}$	549	$1,614 \cdot 10^{-6}$	823	$6,232 \cdot 10^{-2}$	1154,2	$2,007 \cdot 10^{-3}$
566	$6,369 \cdot 10^{-6}$	569	$4,596 \cdot 10^{-6}$	833	$7,677 \cdot 10^{-2}$	1161,5	$2,343 \cdot 10^{-3}$
589,5	$1,337 \cdot 10^{-5}$	591,5	$1,332 \cdot 10^{-5}$	843	$1,025 \cdot 10^{-1}$	1175,5	$3,997 \cdot 10^{-3}$
600	$8,777 \cdot 10^{-5}$	615,5	$4,089 \cdot 10^{-5}$	852	$1,258 \cdot 10^{-1}$	1187,5	$4,209 \cdot 10^{-3}$
633	$7,633 \cdot 10^{-5}$	633,5	$1,119 \cdot 10^{-4}$	851 ****	$8,246 \cdot 10^{-4}$	1201	$5,008 \cdot 10^{-3}$
651	$2,084 \cdot 10^{-4}$	653	$2,567 \cdot 10^{-4}$	867,3	$7,695 \cdot 10^{-4}$	1210	$6,507 \cdot 10^{-3}$
674	$6,371 \cdot 10^{-4}$	662,5	$3,857 \cdot 10^{-4}$	887,5	$1,025 \cdot 10^{-3}$	1220	$8,779 \cdot 10^{-3}$
702	$1,805 \cdot 10^{-3}$	683,5	$9,014 \cdot 10^{-4}$	897	$8,200 \cdot 10^{-4}$	1230	$9,997 \cdot 10^{-3}$
716	$2,720 \cdot 10^{-3}$	696,5	$1,374 \cdot 10^{-3}$	917,5	$6,301 \cdot 10^{-4}$	1240	$1,357 \cdot 10^{-2}$
731,5	$2,893 \cdot 10^{-3}$	706	$2,025 \cdot 10^{-3}$	932,5	$5,236 \cdot 10^{-4}$	1250	$1,717 \cdot 10^{-2}$
749,5	$7,180 \cdot 10^{-3}$	713	$2,407 \cdot 10^{-3}$	952	$7,590 \cdot 10^{-4}$		
761	$9,721 \cdot 10^{-3}$	727,4	$3,955 \cdot 10^{-3}$	974	$1,279 \cdot 10^{-3}$		

* Первая серия измерений.

** Вторая серия измерений.

*** Третья серия измерений.

**** Четвертая серия измерений.



Общая дисперсия измерения и дисперсии коэффициентов равны соответственно

$$S^2 \{ \lg P \} = 5,02 \cdot 10^{-5}; S^2 \{ B \} = 97,05; S^2 \{ A \} = 1,04 \cdot 10^{-4}$$

Представляло интерес измерить летучесть фторидов плутония в области разложения тетрафторида. С этой целью в четвертой серии был использован продукт, оставшийся в эфузационной камере после завершения третьей серии. Перед измерением давления продукт былдержан в вакууме в течение 1 ч при температуре 851° С, которая далее повышалась со средней скоростью 0,5 град/мин. Из рисунка видно, что экспериментальные точки, определенные при высоких температурах, сильно разбросаны и лежат значительно ниже данных тетрафторида. В измеренном интервале температур (851—1250° С) можно выделить две области, где экспериментальные точки удовлетворительно ложатся на прямую. При температурах выше 1129° С прямая, описывающая 12 экспериментальных точек, задается уравнением, которое почти идентично уравнению [7] для давления пара трифторида плутония:

$$\lg P \text{ mm} = -\frac{21323}{T} + 12,22 \text{ (1129—1250° С)}; \quad (2)$$

$$S^2 \{ \lg P \} = 1,8 \cdot 10^{-3}$$

Отсюда следует, что при нагревании в вакууме выше 1100° С тетрафторид плутония полностью разложился до трифторида, что согласуется с данными [3, 4, 7].

В процессе разложения тетрафторида летучесть галогенидов (измеренная по количеству испарившегося плутония) изменяется сложным образом: вначале она падает с повышением температуры, затем возрастает, падает с повышением температуры, затем возрастает, падает с повышением температуры, затем возрастает.

1051,5° С семь экспериментальных точек описывается уравнением

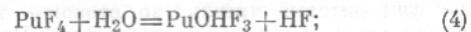
$$\lg P \text{ mm} = -\frac{22182}{T} + 14,90; \quad (3)$$

$$S^2 \{ \lg P \} = 4,24 \cdot 10^{-3}$$

Эта прямая практически параллельна прямой, характеризующей летучесть трифторида, но лежит более чем на 1,5 порядка выше.

На рисунке результаты сравниваются с экспериментальными точками, полученными в работах [1, 2]. Литературные данные лежат в 50—200 раз ниже наших и попадают в область, промежуточную между тетра- и трифторидом плутония. Таким образом, можно полагать, что авторы указанных работ измеряли давление пара не над тетрафторидом плутония, а над продуктами его разложения. Следует отметить, что результаты работы [2], вероятно, искажены допущенной методической ошибкой — большим отверстием диафрагмы.

Понижение давления пара тетрафторида плутония в промежуточной области может объясняться образованием оксифторида. Эту возможность исключать нельзя, поскольку при подготовке четвертой серии камера перезаряжалась на воздухе и обезжаженный в вакууме продукт имел контакт с атмосферой. При нагревании тетрафторида в вакууме в присутствии адсорбированных следов влаги возможны следующие реакции:



Таким образом, вода катализирует реакцию разложения тетрафторида до трифторида. Для разложения 209 мг PuF_4 вполне достаточно 6 мг воды, однако в объеме воздуха, равном объему ячейки Кнудсена ($0,1 \text{ см}^3$), содержится всего 0,5 мкг воды. Следовательно, объяснить понижение давления пара тетрафторида плутония только за счет реакций (4) — (6), т. е. считать экспериментальные точки, описываемые уравнением (3), мерой давления разложения PuOHF_3 , не удается. Можно предположить, что наблюдаемое понижение давления связано с образованием твердых растворов PuF_4 — PuF_3 или с образованием смешанного соединения. В пользу последнего предположения говорит тот факт, что в широкой области температур данные всех трех работ удовлетворительно согласуются и в принципе их можно описать одним уравнением. Такое положение менее вероятно для случая твердых растворов.

Поскольку в наших условиях тетрафторид был устойчив до 850° С, появление промежуточного соединения около 700° С при работе в tantalовой эфузационной камере [1] может быть связано либо, как это отмечено в работе [7], со взаимодействием тетрафторида плутония с металлическим tantalом $\left(\text{PuF}_4 + \frac{1}{5} \text{Ta} = \text{PuF}_3 + \frac{1}{5} \text{TaF}_5 \right)$, либо с двуокисью плутония (устойчивость PuF_4 зависит от способа получения).

В этой связи интересно отметить, что наибольший разброс точек в работе [1] наблюдается при температурах ниже 950° С. Выше этой температуры их данные

точно совпадают с нашими результатами, описываемыми уравнением (3). Вероятно, выше 950°C мы имеем дело с чистым промежуточным соединением, в то время как ниже — со смесью этого соединения и тетрафторида [экспериментальные точки работы [1] при низких температурах лежат выше прямой, описываемой уравнением (3)].

Поступило в Редакцию 26/VI 1969 г.

ЛИТЕРАТУРА

1. C. Mandelberg, D. Davies. J. Chem. Soc., 83, No. 5, 2031 (1961).

2. R. Berger, G. Gaumann. Helv. chim. acta, 44, 1084 (1961).
3. S. Fried, N. Davidson. The Transuranium Elements. N.N.E.S. Div. IV. Vol. 4B. N.Y., McGraw-Hill Co., 1949, p. 784.
4. J. Dawson et al. J. Chem. Soc., 76, No. 1, 558 (1954).
5. Д. Я. Чопоров, Э. Г. Чудинов. «Радиохимия», 10, № 2, 221 (1968).
6. Актииды. Под ред. Г. Сиборга, Дж. Каца. М., Изд-во иностр. лит., 1955, стр. 311.
7. M. Rand et al. Editor O. Kubaschewski. Atomic Energy Review. Vol. 4. Special Issue No. 1. Vienna, IAEA, 1966.

Перегревы, необходимые для вскипания щелочных металлов

В. И. СУББОТИН, Д. Н. СОРОКИН, А. П. КУДРЯВЦЕВ

Вопрос о величине перегревов Δt_{h} , необходимых для вскипания жидкости, представляет не только теоретический, но и практический интерес. Например, в быстрых реакторах с натриевым теплоносителем может произойти вскипание натрия в активной зоне. Процесс испарения, а следовательно, и изменение реактивности реактора во времени будут зависеть от величины перегрева натрия по отношению к температуре насыщения.

Эксперименты показали, что перегревы таких металлов, как натрий и калий, на поверхностях из конструкционных материалов, применяемых для работы в средах щелочных металлов, могут достигать нескольких сот градусов при давлениях насыщения до нескольких атмосфер. Аналитическое изучение перегревов жидкостей в настоящее время затруднено. Основные сведения о величинах Δt_{h} пока могут быть получены лишь опытным путем. В таблице приведены экспериментальные данные различных авторов по перегревам щелочных металлов. Видно, что эти сведения значительно расходятся между собой. Рассмотрим влияние

некоторых факторов на величину перегревов щелочных металлов.

С ростом температуры (давления) насыщения для щелочных металлов, так же как и для других жидкостей, наблюдается тенденция к снижению величины Δt_{h} [1, 2]. На рис. 1,2 представлены некоторые опытные данные по перегревам натрия и калия. Точки имеют большой разброс. Это, вероятно, связано в основном с различием в состоянии поверхности.

На величину Δt_{h} влияет не только уровень температуры насыщения, но и распределение температуры и давления в жидкости у твердой поверхности. В работе [13] экспериментально показано, что наименьший перегрев жидкости соответствует изотермическим условиям, поэтому величина Δt_{h} при вынужденном движении должна быть больше, чем, например, при свободной конвекции, и увеличиваться по мере роста скорости теплоносителя. Однако на практике перегревы жидкости при вынужденном движении часто бывают ниже, чем в условиях свободной конвекции. Это, вероятно,

Экспериментальные данные по перегревам щелочных металлов

Авторы, литература	Металл	Перегрев, $^{\circ}\text{C}$	Диапазон температур насыщения, $^{\circ}\text{C}$	Условия проведения экспериментов
Эдвард, Гофман [1]	Натрий, калий	30—240 50—390	650—920 560—950	Естественная циркуляция
Грасс и др. [2]	Натрий, калий	240 20—820	900 550—800	Неподвижный металл
Марто, Росеноу [3]	Натрий	74	670	Свободная конвекция
Чен [4]	Калий	10—65	700—870	Вынужденное движение
Конидек и др. [5]	Натрий	20—200	700—920	Неподвижный металл
Краковяк [6]	Рубидий	75	680	Свободная конвекция
Боришанский и др. [7]	Калий	30—50	680—920	Вынужденное движение
Беренсон, Киллакей [8]	Калий	110—280	760	То же
Фауске [9]	Натрий	16—66	600—820	Неподвижный металл
Пинчера и др. [10]	Натрий	10—90	680—880	» »
Хольц, Зингер [11]	Натрий	50—110	560—880	» »
Данные авторов	Натрий, калий, цезий	40—200 60—150 70—120	600—930 450—800 480—660	Свободная конвекция